

NIELINIOWA TEORIA STATECZNOŚCI POWŁOK PRZEKŁADKOWYCH Z UWZGLĘDNIENIEM POPRZECZNEJ ODKSZTAŁCALNOŚCI RDZENIA

FRANCISZEK R O M A N Ó W, J E R Z Y C Z M O C H O W S K I

Wrocław

W pracy rozpatrzono zagadnienie stateczności sprężystej małowyniosłych walcowych powłok trójwarstwowych z miękkim rdzeniem, odkształcalnym w kierunku prostopadłym do powłoki. Zagadnienie to w zakresie liniowym rozwiązano w pracy [1] dla powłok ściskanych i w pracy [2] dla powłok ścinanych. Zgodnie z teorią cienkich jednorodnych powłok przyjmuje się dla warstw zewnętrznych hipotezę przemieszczeniową Kirchhoffa-Love'a (K—L). W stosunku do rdzenia zastosowano metodę przedstawioną w pracy [1, 2], uwzględniającą poprzeczną odkształcalność rdzenia. Z zasady prac wirtualnych wyprowadzono równania równowagi sił i zespół naturalnych warunków brzegowych. Układ pięciu równań równowagi wyrażonych w przemieszczeniach, po wprowadzeniu funkcji naprężeń i funkcji przemieszczeń sprowadzono do trzech równań różniczkowych cząstkowych, które rozwiązano przybliżoną metodą Bubnowa-Galerkina.

Celem ilustracji zjawisk występujących w stanie zakrytycznym oraz wpływu początkowych imperfekcji podano prosty przykład w którym rozwiązano zadanie stateczności sprężystej swobodnie podpartej otwartej powłoki walcowej przy osiowym ściskaniu. Wyniki obliczeń przedstawiono w formie wykresu siła — ugięcie (rys. 3). Natomiast wpływ poprzecznej odkształcalności rdzenia na stateczność początkową przedstawiono na wykresie siły krytycznej w funkcji grubości rdzenia.

Wstęp

W większości prac dotyczących teorii stateczności sprężystej powłok trójwarstwowych zakłada się stałą wartość ugięcia na grubości rdzenia. Założenie to jest słuszne jedynie dla powłok cienkich, natomiast jest błędne dla powłok o stosunkowo grubym rdzeniu, gdzie decydujące znaczenie mają odkształcenia w kierunku prostopadłym do powierzchni powłoki. Poprzeczne odkształcenia rdzenia uwzględnił już E. REISSNER [3], gdzie przy założeniu w rdzeniu liniowej zmiany naprężeń normalnych do płyty wyprowadził równania równowagi sił płyty trójwarstwowej. W ten sam sposób badali stateczność płyt V. DUNDROVA, V. KOVARIK, P. SLAPAK [4], a A. L. POTASZ [7] i KARAVANOV [10] badali skończone ugięcia płyt ortotropowych. Inna grupa prac uwzględniających ściśliwość poprzeczną rdzenia opiera się na linearyzacji ugięć w warstwie lekkiej Ju. N. NOVICKOV [5], E. I. GRIGOLJUK, P. P. CULKOV [6], L. POMAZI [15]. W pracy [14] autorzy wychodząc z równości

odkształceń przy ściskaniu rdzenia i okładziny, określili krytyczne obciążenie tylko dla cylindrycznie ściskanej tarczy o dowolnej grubości. Jednak ze względu na zawyżone wartości naprężeń krytycznych w tarczach o średniej grubości, teoria ta ma ograniczone zastosowanie.

Zagadnieniem nieliniowym stateczności sprężystej cienkich powłok trójwarstwowych i stanami zakrytycznymi zajmowało się wielu autorów, co przedstawiono w pracy [13].

Z krajowych publikacji zasługuje na uwagę praca W. SZYCA [8], gdzie autor określił wpływ początkowych imperfekcji oraz udział rdzenia w przenoszeniu obciążeń ściskających stycznych do powłoki.

Natomiast J. G. Ronan i J. S. Kao [9] zbadali wpływ sztywności rdzenia na górną i dolną wartość obciążenia krytycznego ściskanych powłok walcowych trójwarstwowych.

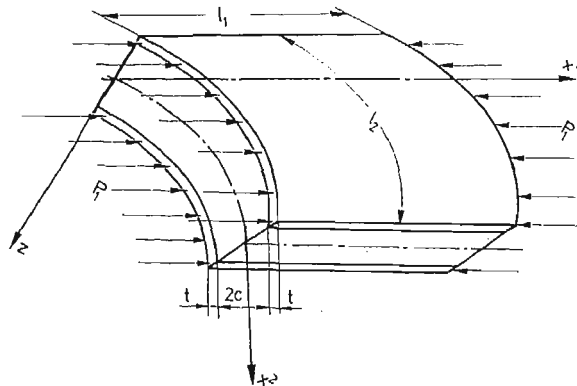
1. Podstawowe założenia

Rozpatrzmy zagadnienie stateczności powłoki trójwarstwowej typu sandwich tzn. złożoną z dwóch warstw „sztywnych” grubości t , zwanych dalej okładzinami, pomiędzy którymi znajduje się warstwa o znacznie mniejszej sztywności, o grubości $2c$, zwanej dalej rdzeniem.

Przyjmujemy, że okładziny pracują jak cienkie powłoki, dla których słuszna jest hipoteza Kirchhoffa-Love'a. Dla rdzenia istotne znaczenie mają odkształcenia w kierunku normalnym do powierzchni środkowej i odkształcenia od poprzecznego ścinania. Siły podłużne przenoszą tylko warstwy zewnętrzne. Dla miękkich rdzeni ($Et/E_n c > 10$) przyjmuje się, że naprężenia normalne i tnące w płaszczyźnie rdzenia są pomijalnie małe w stosunku do pozostałych naprężeń. Dla rdzenia przyjmujemy hipotezę przemieszczeniową zgodnie z [1].

Powłokę warstwową odnosimy do ortogonalnego układu współrzędnych x^1, x^2 , z rys. 1. Przemieszczenia dla okładzin zgodnie z hipotezą K—L przyjmują postać

$$(1.1) \quad \begin{aligned} u_\alpha^f &= u_\alpha^{0f} + \left(z \pm c \pm \frac{t}{2} \right) \varphi_\alpha, \\ u_3^f &= w, \end{aligned}$$



Rys. 1. Schemat powłoki walcowej.

gdzie

$f \equiv g$ — dla górnej okładziny; $-(c+t) < z < -t$,

$f \equiv d$ — dla dolnej okładziny; $c < z < c+t$; (znak minus w nawiasie)

u_α^0 — przemieszczenie powierzchni środkowej okładziny,

φ_α^f — kąt obrotu płaszczyzny prostopadłej do powierzchni środkowej okładziny
(zgodnie z hipotezą K—L $\varphi_\alpha = -w_{,\alpha}$),

w — ugięcie okładzin.

Przemieszczenia w rdzeniu przyjmujemy w postaci [1, 2]

$$(1.2) \quad \begin{cases} u_\alpha^c = u_\alpha^+ - \frac{u_\alpha^-}{c} z - \frac{t}{2c} \varphi_\alpha z f(z), \\ w^c = w f(z), \end{cases}$$

gdzie:

$$(1.3) \quad u_\alpha^+ = \frac{1}{2}(u_\alpha^{0g} + u_\alpha^{0d}), \quad u_\alpha^- = \frac{1}{2}(u_\alpha^{0g} - u_\alpha^{0d}),$$

$f(z)$ — funkcja zależna tylko od współrzędnej prostopadłej do powłoki.

Odształcenia okładzin zgodnie z nieliniową teorią powłok przyjmujemy w postaci:

$$(1.4) \quad \begin{aligned} \varepsilon_{\alpha\beta}^f &= \frac{1}{2}(u_{\alpha,\beta}^f + u_{\beta,\alpha}^f + w_{,\alpha} w_{,\beta} + w_{,\alpha} w_{,\beta}^0 + w_{,\alpha}^0 w_{,\beta}) - k_{\alpha\beta} w, \\ \varepsilon_{\alpha 3}^f &= q_\alpha = \varphi_\alpha + w_{,\alpha}, \end{aligned}$$

gdzie:

w^0 — początkowe nieregularności powierzchni okładzin (początkowe imperfekcje),

$k_{\alpha\beta}$ — główne krzywizny powierzchni środkowej okładzin.

W dalszej części wprowadzimy odształcenia sprowadzone do powierzchni środkowej powłoki

$$(1.5) \quad \varepsilon_{\alpha\beta}^f = e_{\alpha\beta}^+ \pm e_{\alpha\beta}^- + \left(z \pm c \pm \frac{t}{2} \right) \kappa_{\alpha\beta},$$

gdzie:

$$(1.6) \quad \begin{aligned} e_{\alpha\beta}^+ &= \frac{1}{2}(u_{\alpha,\beta}^+ + u_{\beta,\alpha}^+ + w_{,\alpha} w_{,\beta} + w_{,\alpha} w_{,\beta}^0 + w_{,\alpha}^0 w_{,\beta}) - k_{\alpha\beta} w, \\ e_{\alpha\beta}^- &= \frac{1}{2}(u_{\alpha,\beta}^- + u_{\beta,\alpha}^-), \\ \kappa_{\alpha\beta} &= \frac{1}{2}(\varphi_{\alpha,\beta} + \varphi_{\beta,\alpha}). \end{aligned}$$

Odształcenia w rdzeniu określamy w następujący sposób

$$(1.7) \quad \begin{aligned} \varepsilon_{\alpha 3}^c &= u_{\alpha,3}^c + w_{,\alpha}^c = -\frac{u_\alpha^-}{c} - \frac{t}{2c} \left(f + z \frac{df}{dz} \right) \varphi_\alpha + f w_{,\alpha} \\ \varepsilon_{33}^c &= \frac{df}{dz} w. \end{aligned}$$

Zgodnie z prawem Hooke'a naprężenia w warstwach przyjmują postać

$$(1.8) \quad \sigma_{\alpha\beta}^f = \frac{E}{1-\nu^2} \{ (1-\nu)\varepsilon_{\alpha\beta}^f + \nu\delta_{\alpha\beta}\varepsilon_{\gamma\gamma}^f \},$$

$$\sigma_{\alpha 3}^c = G_c \varepsilon_{\alpha 3}^c,$$

$$\sigma_{33}^c = E_c \varepsilon_{33}^c,$$

gdzie: E, ν — moduł Younga i liczba Poissona materiału okładzin,
 E_c, G_c — moduł Younga i moduł Kirchhoffa materiału rdzenia.

2. Równania równowagi

Równania równowagi powłoki trójwarstwowej znajdujemy wykorzystując zasadę prac wirtualnych, zgodnie z którą energia odkształcenia sprężystego układu jest równa pracy sił zewnętrznych na wirtualnych przemieszczeniach

$$(2.1) \quad \delta II = \delta W_z,$$

gdzie: δII oznacza wariację energii odkształcenia sprężystego powłoki

$$(2.2) \quad II = II^g + II^d + II^c,$$

$II^{g,d,c}$ — są odpowiednio energią odkształcenia sprężystego warstwy górnej, dolnej i rdzenia,

δW_z — oznacza wariację sił pracy zewnętrznych

$$(2.3) \quad W_z = W_\Omega + W_s,$$

W_Ω — praca sił działających na powierzchnię Ω powłoki,

W_s — praca sił przyłożonych do brzegów powłoki.

Wariację energii sprężystej możemy przedstawić w postaci:

$$(2.4) \quad \delta II = \int_{\Omega} \left[\int_{-(c+t)}^{-c} \sigma_{\alpha\beta}^g \delta \varepsilon_{\alpha\beta}^g dz + \int_{-c}^c \sigma_{i3}^c \delta \varepsilon_{i3}^c dz + \int_c^{c+t} \sigma_{\alpha\beta}^d \delta \varepsilon_{\alpha\beta}^d dz \right] d\Omega = \int_{\Omega} \left[N_{\alpha\beta}^+ \delta e_{\alpha\beta}^+ + \right.$$

$$\left. + N_{\alpha\beta}^- \delta e_{\alpha\beta}^- + M_{\alpha\beta} \delta \chi_{\alpha\beta} + Q_{\alpha 3} \delta q_{\alpha} - Q_{\alpha 3}^c \delta \left(\frac{u_{\alpha}^-}{c} \right) - \frac{t}{2c} S_{\alpha 3}^c \delta \varphi_{\alpha} + T_{\alpha 3}^c \delta w_{,\alpha} + T_{33}^c \delta w \right] d\Omega,$$

Ω — powierzchnia środkowa powłoki ($\Omega: 0 \leq x_1 \leq l_1, 0 \leq x_2 \leq l_2$), gdzie siły zdefiniowano w następujący sposób:

$$(2.5) \quad N_{\alpha\beta}^+ = N_{\alpha\beta}^g + N_{\alpha\beta}^d;$$

$$N_{\alpha\beta}^- = c(N_{\alpha\beta}^g - N_{\alpha\beta}^d);$$

$$M_{\alpha\beta} = M_{\alpha\beta}^g + M_{\alpha\beta}^d;$$

$$Q_{\alpha 3} = Q_{\alpha 3}^g + Q_{\alpha 3}^d;$$

$$S_{\alpha 3}^c = T_{\alpha 3}^c + V_{\alpha 3}^c;$$

$$\begin{aligned}
 N_{\alpha\beta}^g &= \int_{-(c+t)}^{-c} \sigma_{\alpha\beta}^g dz; & N_{\alpha\beta}^d &= \int_c^{c+t} \sigma_{\alpha\beta}^d dz; \\
 M_{\alpha\beta}^g &= \int_{-(c+t)}^{-c} \sigma_{\alpha\beta}^g \left(z+c+\frac{t}{2} \right) dz; & M_{\alpha\beta}^d &= \int_c^{c+t} \sigma_{\alpha\beta}^d \left(z-c-\frac{t}{2} \right) dz; \\
 Q_{\alpha 3}^g &= \int_{-(c+t)}^{-c} \sigma_{\alpha 3}^g dz; & Q_{\alpha 3}^d &= \int_c^{c+t} \sigma_{\alpha 3}^d dz; & Q_{\alpha 3}^c &= \int_{-c}^c \sigma_{\alpha 3}^c dz; \\
 T_{\alpha 3}^c &= \int_{-c}^c \sigma_{\alpha 3}^c f(z) dz; & T_{33}^c &= \int_{-c}^c \sigma_{33}^c \frac{df}{dz} dz; \\
 V_{\alpha 3}^c &= \int_{-c}^c \sigma_{\alpha 3}^c z \frac{df}{dz} dz.
 \end{aligned}$$

W ten sposób zagadnienie przestrzenne sprowadzimy do płaskiego. Wariację pracy sił przyłożonych do powierzchni powłoki obliczamy w następujący sposób

$$(2.6) \quad \delta W_{\Omega} = \iint_{\Omega} (p_{\alpha} \delta u_{\alpha}^+ + p_3 \delta w) dx_1 dx_2,$$

gdzie: p_{α}, p_3 — składowe obciążenia powierzchniowego w kierunku osi x_{α}, z .

Natomiast wariacja pracy sił brzegowych $\bar{N}_{\alpha\beta}^+, \bar{N}_{\alpha\beta}^-, \bar{M}_{\alpha\beta}, \bar{Q}_{\alpha}$ ma postać

$$\begin{aligned}
 (2.7) \quad \delta W_s &= \int_0^{l_1} \left[\bar{N}_{\alpha 2}^+ \delta u_{\alpha}^+ + \bar{N}_{\alpha 2}^- \delta \left(\frac{u_{\alpha}^-}{c} \right) + \bar{N}_{\alpha 2}^+ w_{,\alpha} \delta w^0 - \bar{M}_{22} \delta w_{,2} + \right. \\
 &\quad \left. + \bar{Q}_2 \delta w \right]_0^{l_1} dx_1 + \int_0^{l_2} \left[\bar{N}_{\alpha 1}^+ \delta u_{\alpha}^+ + \bar{N}_{\alpha 1}^- \delta \left(\frac{u_{\alpha}^-}{c} \right) + \right. \\
 &\quad \left. + \bar{N}_{\alpha 1}^+ w_{,\alpha} \delta w^0 - \bar{M}_{11} \delta w_{,1} + \bar{Q}_1 \delta w \right]_0^{l_1} dx_2 - 2 \bar{M}_{12} \delta w \Big|_0^{l_1} \Big|_0^{l_2}
 \end{aligned}$$

Wykorzystując wzory (2.5) obliczamy siły działające na powłokę w funkcji przemieszczeń

$$\begin{aligned}
 N_{\alpha\beta}^+ &= 2B[(1-\nu)e_{\alpha\beta}^+ + \nu\delta_{\alpha\beta}e_{\gamma\gamma}^+], \\
 N_{\alpha\beta}^- &= 2Bc^2[(1-\nu)e_{\alpha\beta}^- + \nu\delta_{\alpha\beta}e_{\gamma\gamma}^-], \\
 M_{\alpha\beta} &= 2D[(1-\nu)\kappa_{\alpha\beta} + \nu\delta_{\alpha\beta}\kappa_{\gamma\gamma}], \\
 Q_{\alpha 3}^c &= -2G_c(u_{\alpha}^- - \Theta_{16}w_{,\alpha}), \\
 T_{\alpha 3}^c &= -2G_c(I_1 u_{\alpha}^- - \Theta_{37}w_{,\alpha}), \\
 V_{\alpha 3}^c &= -2G_c(I_6 u_{\alpha}^- - \Theta_{78}w_{,\alpha}), \\
 S_{\alpha 3}^c &= T_{\alpha 3}^c + V_{\alpha 3}^c, \\
 T_{33}^c &= \frac{E_c I_5}{c} w,
 \end{aligned}
 \tag{2.8}$$

gdzie:

$$(2.9) \quad \Theta_{IJ} = \left(c + \frac{t}{2} \right) I_I + \frac{t}{2} I_J$$

Wartości parametrów I_I dla przemieszczeń w rdzeniu określonych funkcją (1.2) [1] i dla przemieszczeń zgodnych z hipotezą prostej łamanej $f(z) = 1$ podano w tabeli 1.

Po podstawieniu powyższych zależności do (2.1) i całkowaniu przez części otrzymamy równania równowagi powłoki wyrażone w przemieszczeniach (2.10) oraz zespół naturalnych warunków brzegowych (2.12).

$$(2.10) \quad (1-\nu)(u_{\alpha,\beta}^+ + u_{\beta,\alpha}^+ + w_{,\alpha} w_{,\beta} + w_{,\alpha} w_{,\beta}^0 + w_{,\alpha}^0 w_{,\beta} - 2k_{\alpha\beta} w)_{,\beta} + \\ + 2\nu \delta_{\alpha\beta} (u_{\gamma,\gamma}^+ + \frac{1}{2} w_{,\gamma} w_{,\gamma} + w_{,\gamma} w_{,\gamma}^0 - k_{\gamma\gamma} w)_{,\beta} = -\frac{p_{\alpha}}{B}, \\ \frac{cB}{G_c} \left[\frac{1-\nu}{2} (u_{\alpha,\beta}^- + u_{\beta,\alpha}^-) + \nu \delta_{\alpha\beta} u_{\gamma,\gamma} \right]_{,\beta} - u_{\alpha}^- + \Theta_{16} w_{,\alpha} = 0, \\ -2D w_{,\alpha\alpha\beta\beta} - 2B\Theta_{16} u_{\alpha,\beta\beta}^- + 2G_c \frac{\Theta}{c} w_{,\alpha\alpha} - \frac{E_c I_5}{c} w + \\ + N_{\alpha\beta}^+ (k_{\alpha\beta} + w_{,\alpha\beta} + w_{,\alpha\beta}^0) + p_3 - p_{\alpha} (w + w^0)_{,\alpha} = 0,$$

gdzie:

$$(2.11) \quad \Theta = \left(c + \frac{t}{2} \right) \Theta_{37} + \frac{t}{2} \Theta_{78} - \Theta_{16}^2$$

$$(2.12) \quad \int_0^{l_1} \left\{ (N_{\alpha 2}^+ - \bar{N}_{\alpha 2}^+) \delta u_{\alpha}^+ + (N_{\alpha 2}^- - \bar{N}_{\alpha 2}^-) \delta \left(\frac{u_{\alpha}^-}{c} \right) + \right. \\ \left. + (N_{\alpha 2}^+ w_{,\alpha} - \bar{N}_{\alpha 2}^+ w_{,\alpha}) \delta w^0 - (M_{22} - \bar{M}_{22}) \delta w_{,\alpha} + \right. \\ \left. + \left[M_{22,2} + 2M_{12,1} + N_{\alpha 2}^+ (w + w^0)_{,\alpha} + \frac{t}{2c} S_{23}^c + T_{23}^c - \bar{Q}_2 \right] \delta w \right\}_0^{l_1} dx_1 + \\ + \int_0^{l_2} \left\{ (N_{\alpha 1}^+ - \bar{N}_{\alpha 1}^+) \delta u_{\alpha}^+ + (N_{\alpha 1}^- - \bar{N}_{\alpha 1}^-) \delta \left(\frac{u_{\alpha}^-}{c} \right) + \right. \\ \left. + (N_{\alpha 1}^+ w_{,\alpha} - \bar{N}_{\alpha 1}^+ w_{,\alpha}) \delta w^0 - (M_{11} - \bar{M}_{11}) \delta w_{,\alpha} + \right. \\ \left. + \left[M_{11,1} + 2M_{12,2} + N_{\alpha 1}^+ (w + w^0)_{,\alpha} + \frac{t}{2c} S_{13}^c + \right. \right. \\ \left. \left. + T_{13}^c - \bar{Q}_1 \right] \delta w \right\}_0^{l_1} dx_2 - 2(M_{12} - \bar{M}_{12}) \delta w \Big|_0^{l_1} \Big|_0^{l_2} = 0.$$

3. Stateczność osiowo ściskanej powłoki cylindrycznej

Obecnie przedstawimy rozwiązanie zadania stateczności sprężystej swobodnie podporanej otwartej powłoki walcowej przy osiowym ściskaniu. Siły zewnętrzne \bar{N}_{11}^+ są równo-

miernie rozłożone na krawędziach $x_1 = 0$ i $x_1 = l_1$. Warunki brzegowe otrzymujemy zgodnie z powyższymi założeniami z naturalnych warunków brzegowych (2.12). Mianowicie dla $x_1 = 0$ i $x_1 = l_1$ mamy

$$(3.1) \quad \begin{aligned} N_{11}^+ &= \bar{N}_{11}^+, \\ N_{21}^+ &= 0, \\ N_{11}^- &= 0 \Rightarrow (1-\nu)e_{11}^- + \nu(e_{11}^- + e_{22}^-) = 0 \Rightarrow u_{1,1}^- = 0 \quad \text{i} \quad u_{2,2}^- = 0, \\ u_{21}^- &= 0, \\ M_{11} &= 0 \Rightarrow (1-\nu)\kappa_{11} + \nu(\kappa_{11} + \kappa_{22}) = 0 \Rightarrow w_{,11} = 0 \quad \text{i} \quad w_{,22} = 0, \\ w &= 0, \end{aligned}$$

dla brzegu $x_2 = 0$ i $x_2 = l_2$

$$(3.2) \quad \begin{aligned} N_{12}^+ &= 0, \\ N_{22}^+ &= 0, \\ u_{11}^- &= 0, \\ N_{22}^- &= 0 \Rightarrow (1-\nu)e_{22}^- + \nu(e_{11}^- + e_{22}^-) = 0 \Rightarrow u_{1,1}^- = 0 \quad \text{i} \quad u_{2,2}^- = 0, \\ M_{22} &= 0 \Rightarrow (1-\nu)\kappa_{22} + \nu(\kappa_{11} + \kappa_{22}) = 0 \Rightarrow w_{,11} = 0 \quad \text{i} \quad w_{,22} = 0, \\ w &= 0. \end{aligned}$$

Przy badaniu stateczności sprężystej osiowo ściskanej powłoki cylindrycznej zakładamy, że siły przyłożone są tylko do brzegów powłoki, $p_\alpha = p_3 = 0$.

Pierwsze dwa równania równowagi będą spełnione tożsamościowo, jeśli siły wyrazimy przy pomocy tzw. funkcji naprężeń (funkcji Airy'ego) $F(x_1, x_2)$

$$(3.3) \quad N_{\alpha\beta}^+ = \delta_{\alpha\beta} F_{, \gamma\gamma} - F_{, \alpha\beta}.$$

Wyrażając odkształcenia $e_{\alpha\beta}^+$ przy pomocy funkcji naprężeń i wykorzystując równanie nierozdzielności przemieszczeń

$$(3.4) \quad (e_{\alpha\beta}^+ - \delta_{\alpha\beta} e_{\gamma\gamma}^+),_{\alpha\beta} = (\delta_{\alpha\beta} w_{, \gamma\gamma} - w_{, \alpha\beta}) \left[k_{\alpha\beta} + \frac{1}{2} (w + 2w^0)_{, \alpha\beta} \right],$$

otrzymamy równanie na funkcję naprężeń

$$(3.5) \quad F_{, \alpha\alpha\beta\beta} = -2B(1-\nu^2)(\delta_{\alpha\beta} w_{, \gamma\gamma} - w_{, \alpha\beta}) \left[k_{\alpha\beta} + \frac{1}{2} (w + 2w^0)_{, \alpha\beta} \right].$$

Dalej definiując funkcję przemieszczeń $\psi(x_1, x_2)$

$$(3.6) \quad \psi = u_{\alpha, \alpha}^-,$$

z trzeciego i czwartego równania równowagi (2.10) otrzymamy

$$(3.7) \quad \psi_{, \alpha\alpha} - \frac{G_c}{cB} \psi + \frac{\Theta_{16} G_c}{cB} w_{, \alpha\alpha} = 0.$$

Z kolei ostatnie równanie równowagi (2.10) możemy napisać w następujący sposób

$$(3.8) \quad -2Dw_{, \alpha\alpha\beta\beta} - 2B\Theta_{16} \psi_{, \alpha\alpha} + \frac{2G_c \Theta}{c} w_{, \alpha\alpha} - \frac{E_c I_5}{c} w + (\delta_{\alpha\beta} F_{, \gamma\gamma} - F_{, \alpha\beta}) [k_{\alpha\beta} + (w + w^0)_{, \alpha\beta}] = 0.$$

W ten sposób sprowadziliśmy układ 5 równań równowagi do 3 równań w funkcji W , F i ψ (3.5), (3.7) i (3.8).

Powyższy układ trzech równań równowagi rozwiążemy przybliżoną metodą Bubnowa-Galerkina.

Przyjmujemy, że funkcja aproksymująca ugięcie „w” powłoki ma postać

$$(3.9) \quad w = W \sin \alpha x_1 \sin \beta x_2,$$

gdzie:

$$\alpha = \frac{m\pi}{l_1}, \quad \beta = \frac{n\pi}{l_2},$$

podobnie przyjmujemy postać początkowych nieregularności kształtu

$$(3.10) \quad w^0 = W^0 \sin \alpha x_1 \sin \beta x_2$$

Tak dobrane funkcje spełniają warunki brzegowe swobodnego podparcia (3.1), (3.2). Wprowadzenie przyjętej funkcji ugięcia do równań (3.5) i (3.7) umożliwia niezależne od siebie rozwiązanie tych równań, tzn. określenie funkcji naprężeń i przemieszczeń

$$(3.11) \quad F = \mathbf{B}(1-\nu^2) \left[\frac{1}{16} W(W+2W^0) \left(\frac{\beta^2}{\alpha^2} \cos 2\alpha x_1 + \frac{\alpha^2}{\beta^2} \cos 2\beta x_2 \right) + \right. \\ \left. + \frac{2(k_{22}\alpha^2 + k_{11}\beta^2)}{(\alpha^2 + \beta^2)^2} W \sin \alpha x_1 \sin \beta x_2 + \frac{4k_{12}\alpha\beta}{(\alpha^2 + \beta^2)^2} W \cos \alpha x_1 \cos \beta x_2 \right] - \\ - \frac{\bar{N}_{11}x_2^2}{2} - \frac{\bar{N}_{22}x_1^2}{2} + \bar{N}_{12}x_1x_2$$

$$(3.12) \quad \psi = - \frac{\Theta_{16} G_c (\alpha^2 + \beta^2)}{c\mathbf{B}(\alpha^2 + \beta^2) + G_c} W \sin \alpha x_1 \sin \beta x_2.$$

Trzecie równanie (3.8) rozwiązujemy metodą ortogonalizacji Bubnowa-Galerkina

$$(3.13) \quad \int_0^{l_1} \int_0^{l_2} X \delta W dx_1 dx_2 = 0$$

gdzie: X jest lewą stroną równania (3.8).

Po scałkowaniu otrzymamy równanie algebraiczne na siłę ściskającą:

$$(3.14) \quad \hat{N}_{11} = \frac{a_1 \zeta + a_2 \zeta(\zeta + \zeta^0) + a_3 \zeta(\zeta + 2\zeta^0) + a_4 \zeta(\zeta + \zeta^0)(\zeta + 2\zeta^0)}{a_5 + a_6(\zeta + \zeta^0)},$$

gdzie

$$(3.15) \quad a_1 = \frac{\pi^6 \lambda^3}{24 k^3} (m^2 + n^2 \gamma^2)^2 + \frac{\pi^6 \lambda \hat{\Theta}_{16}^2 \Gamma(m^2 + \gamma^2 n^2)^2}{2k^2 [\pi^2 (m^2 + \gamma^2 n^2) + \Gamma k^2]} + \\ + \frac{\pi^4 \lambda \hat{\Theta} \Gamma(m^2 + \gamma^2 n^2)}{2k^2} + \frac{\pi^2 p^*(1-\nu^2) I_5}{4} + \\ + \frac{\pi^2 \lambda (1-\nu^2)^2}{2(m^2 + \gamma^2 n^2)^2} [(\eta_{22} m^2 + \gamma^2 \eta_{11} n^2)^2 + 4m^2 n^2 \gamma^2 \eta_{12}^2],$$

$$a_2 = - \frac{16\pi^2 \gamma^2 mn \lambda (1-\nu^2)}{3k^2 (m^2 + \gamma^2 n^2)^2} (\eta_{22} m^2 + \gamma^2 \eta_{11} n^2),$$

$$a_3 = - \frac{\pi^2 \lambda (1-\nu^2)}{3mnk^2} (\eta_{11} m^2 + \gamma^2 \eta_{22} n^2),$$

$$(3.15) \text{ [c.d.]} \quad \begin{aligned} a_4 &= \frac{\pi^6 \lambda (1 - \nu^2)}{32k^4} (m^4 + \gamma^4 n^4), \\ a_5 &= -\frac{4\lambda}{mn} (\eta_{11} + \xi_{22} \eta_{22} + 2\xi_{12} \eta_{12}), \\ a_6 &= \frac{\pi^4 \lambda}{4k^2} (m^2 + n^2 \gamma^2 \xi_{22}). \end{aligned}$$

Tabela 1. Wartości parametru I_i w przypadku uwzględnienia poprzecznej ściśliwości rdzenia i bez uwzględnienia ($f(z) = 1$)

	$f(z) = \frac{\cosh pz}{\cosh pc}$	$f(z) = 1$
$2cI_1 = \int_{-c}^c f(z) dz$	$I_1 = \frac{\operatorname{tgh} pc}{pc}$	$I_1 = 1$
$2cI_3 = \int_{-c}^c f^2(z) dz$	$I_3 = \frac{1}{2} \left(1 + \frac{\operatorname{tgh} pc}{pc} - \operatorname{tgh}^2 pc \right)$	$I_3 = 1$
$\frac{I_5}{c} = \int_{-c}^c \left(\frac{df}{dz} \right)^2 dz$	$I_5 = p^2 c^2 \left(\operatorname{tgh}^2 pc + \frac{\operatorname{tgh} pc}{pc} - 1 \right)$	$I_5 = 0$
$2cI_6 = \int_{-c}^c z \frac{df}{dz} dz$	$I_6 = 1 - \frac{\operatorname{tgh} pc}{pc}$	$I_6 = 0$
$2cI_7 = \int_{-c}^c z f \frac{df}{dz} dz$	$I_7 = \frac{1}{4} \left(\operatorname{tgh}^2 pc - \frac{\operatorname{tgh} pc}{pc} + 1 \right)$	$I_7 = 0$
$2cI_8 = \int_{-c}^c z^2 \left(\frac{df}{dz} \right)^2 dz$	$I_8 = \frac{1}{2} \left[\left(p^2 c^2 + \frac{1}{2} \right) \frac{\operatorname{tgh} pc}{pc} + \left(\frac{p^2 c^2}{3} - \frac{1}{2} \right) \operatorname{tgh}^2 pc - \frac{p^2 c^2}{3} - \frac{1}{2} \right]$	$I_8 = 0$

$$\rho^2 = \pi^2 \left(\frac{m^2}{l_1^2} + \frac{n^2}{l_2^2} \right) \psi^2; \quad \psi^2 = \frac{1 - 2\nu_c}{2(1 - \nu_c)}$$

Tutaj wprowadzono następujące bezwymiarowe parametry

$$(3.16) \quad \begin{aligned} \zeta &= \frac{W}{c}, \quad \zeta^0 = \frac{W^0}{c}, \quad \lambda = \frac{t}{c}, \quad k = \frac{a}{c}, \quad \gamma = \frac{a}{b}, \\ \eta_{\alpha\beta} &= c k_{\alpha\beta}, \quad \Gamma = \frac{G_c c}{B}, \quad p^* = \frac{E_c}{E}, \quad \hat{N}_{\alpha\beta} = \frac{\bar{N}_{\alpha\beta}}{B}, \\ \xi_{22} &= \frac{N_{22}}{N_{11}}, \quad \xi_{12} = \frac{\bar{N}_{12}}{N_{11}}, \quad \hat{\Theta}_{IJ} = \frac{\Theta_{IJ}}{c}, \quad \hat{\Theta} = \frac{\Theta}{c^2}. \end{aligned}$$

Z równania (3.14) możemy uzyskać górną krytyczną¹ wartość obciążenia ściskającego wzdłuż tworzącej powłoki walcowej ($\eta_{11} = \eta_{22} = 0$), bez wstępnego ugięcia ($\zeta^0 = 0$), jeśli ugięcie ζ jest nieskończenie bliskie zeru ($\zeta \rightarrow 0$). Powłoka obciążona jest siłami rozłożonymi w sposób ciągły \bar{N}_{11} na brzegach $x_1 = 0$ i $x_1 = l_1$, wobec czego $\xi_{22} = \xi_{12} = 0$. Zgodnie z tymi założeniami górne obciążenie krytyczne możemy obliczyć w następujący sposób

$$(3.17) \quad \hat{N}^u = \lim_{\zeta \rightarrow 0} \hat{N}_{11} = \frac{a_1}{a_6}.$$

Otrzymana wielkość \hat{N}^u zależy od ilości półfal m i n . Z praktycznego punktu widzenia interesuje nas wartość najmniejsza tej wielkości

$$(3.18) \quad \hat{N}_{kr}^u = \min_{m,n} \hat{N}^u = \hat{N}^u(m_k, n_k),$$

m_k i n_k — określa liczbę półfal tworzących się w chwili utraty stateczności.

W dalszym ciągu zbadamy zachowanie się powłoki walcowej po wyboczeniu. Bieżące obciążenie ściskające będziemy odnosić do obciążenia krytycznego \hat{N}_{kr}^u .

$$(3.19) \quad \hat{p} = \frac{\hat{N}_{11}}{\hat{N}_{kr}^u} = \frac{b_1 \zeta + b_2 \zeta^2 + b_3 \zeta^3}{b_4 + b_5 \zeta} \cdot \frac{a_6(m_k, n_k)}{a_1(m_k, n_k)},$$

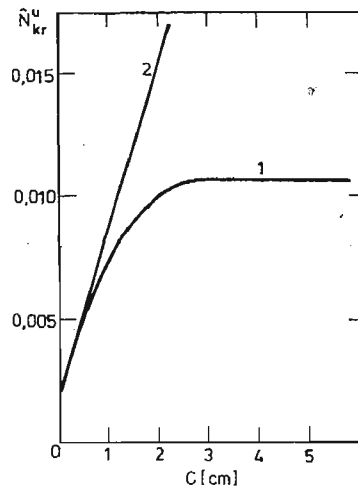
gdzie: $b_1 = a_1 + (a_2 + 2a_3 + 2a_4 \zeta^0) \zeta^0$,

$$b_2 = a_2 + a_3 + 3a_4 \zeta^0,$$

$$b_3 = a_4,$$

$$b_4 = a_6 \zeta^0,$$

$$b_5 = a_6.$$



Rys. 2. Zależność krytycznych obciążeń w funkcji grubości rdzenia. Krzywa 1 — bez uwzględnienia poprzecznej ściśliwości rdzenia; krzywa 2 — z uwzględnieniem poprzecznej ściśliwości.

Podobnie jak wyżej szukamy wartości minimalnej $\hat{P}(m, n)$ ze względu na ilość półfal m i n , dla każdej wartości ugięcia ζ

$$(3.20) \quad \hat{P}_m = \min_{m, n} \hat{P}(m, n) = \hat{P}(m_1, n_1),$$

m_1, n_1 — określają liczbę półfal odpowiadających najmniejszej sile ściskającej dla danej wartości ugięcia.

4. Obliczenia i wnioski

Obliczenia przeprowadzono dla powłoki trójwarstwowej o następujących parametrach geometrycznych i fizycznych:

- długości powłoki wzdłuż tworzącej $l_1 = 0,6$ m,
- szerokość powłoki po obwodzie $l_2 = 0,4$ m,
- promień zakrzywienia powierzchni podstawowej $R = 1$ m,
- grubość okładzin $t = 1$ mm,
- moduł sprężystości podłużnej materiału okładzin $E = 70\,534$ MPa,
- liczba Poissona materiału okładzin $\nu = 0,3$,
- moduł sprężystości podłużnej materiału rdzenia $E_c = 53$ MPa,
- liczba Poissona materiału rdzenia $\nu_c = 0$.

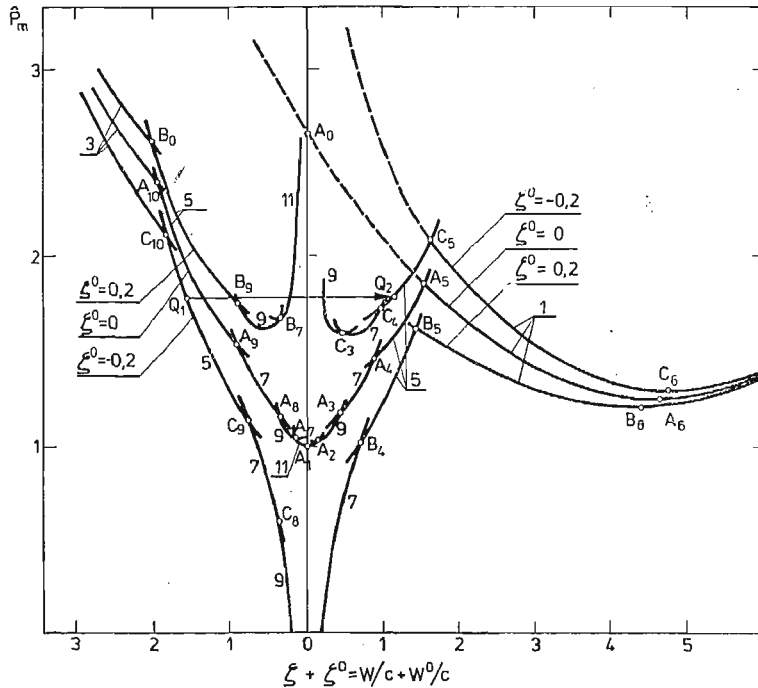
Na rys. 2 przedstawiono krzywe obrazujące utratę stateczności powłoki przy małych ugięciach w funkcji grubości rdzenia. Krzywa 1 przedstawia zależność siły krytycznej przy pominięciu ściśliwości rdzenia, $f(z) = 1$, natomiast krzywa 2 z uwzględnieniem ściśliwości rdzenia. W tabeli 2 podano wartości liczbowe naprężeń krytycznych \hat{N}_{kr}^u i odpowiadające im ilości półfal sfałdowania powłoki wzdłuż tworzącej „ m ” i po obwodzie „ n ”. Jak widać nie uwzględnianie poprzecznej ściśliwości jest dopuszczalne jedynie dla dostatecznie cienkich powłok.

Tabela 2. Obciążenia krytyczne i ilość półfal m i n w zależności od grubości rdzenia. Grupa danych Nr 1 odpowiada obliczeniom bez uwzględnienia ściśliwości rdzenia i grupy danych Nr 2 z uwzględnieniem ściśliwości rdzenia.

Lp	c cm	krzywa 1			krzywa 2		
		m	n	\hat{N}_{kr}^u	m	n	\hat{N}_{kr}^u
1	0,0	8	1	0,00221	8	1	0,00221
2	0,5	11	1	0,00517	11	1	0,00523
3	1,0	14	1	0,00821	11	1	0,00870
4	1,5	22	1	0,00996	11	1	0,01218
5	2,0	26	1	0,01048	12	1	0,01566
6	2,5	27	1	0,01063	12	1	0,01913
7	3,0	27	1	0,01067	12	1	0,02260
8	3,5	27	1	0,01068	12	1	0,02607
9	4,0	28	1	0,01068	13	1	0,02954
10	5,0	28	1	0,01068	13	1	0,03646

¹⁾ Pojęcie górnego i dolnego obciążenia krytycznego określił Vol'mir A. S. [11].

Na rys. 3 przedstawiono wykres „siła-ugięcie”, dla różnych wartości parametru początkowych imperfekcji ζ^0 . Liczba przy krzywej podaje ilość półfal sfałdowania powłoki wzdłuż tworzącej. W pracach [8], [9] przy założeniu jedynie globalnego wybożenia w postaci jednej półfali określa się tzw. górne obciążenie krytyczne odpowiadające punktowi A_0 (rys. 3) i dolne obciążenie krytyczne — punkt A_6 . Natomiast jak wynika z przeprowa-



Rys. 3. Wykres „siła — ugięcie” dla różnych wartości parametru początkowych imperfekcji ζ^0 (Liczba w kółku określa ilość półfal powstających wzdłuż tworzącej powłoki walcowej).

dzonej tutaj analizy powłoka ulega sfałdowaniu z dużą ilością półfal przy znacznie niższej sile, odpowiadającej punktowi A_1 . Wartość siły odpowiadającej temu punktowi, otrzymuje się z analizy liniowej zagadnienia stateczności powłok trójwarstwowych [12], jest to tzw. pierwszy punkt bifurkacji. Dalszy wzrost obciążenia jak widać nie powoduje utraty nośności powłoki. W punktach A_2 , A_3 , A_4 występują ponowne rozwidlenia krzywej „siła-ugięcie”, są to kolejne punkty bifurkacji, gdzie następują „przeskoki” z pierwotnej postaci do nowej odpowiadającej mniejszej liczbie półfal sfałdowania powłoki. W punkcie A_5 powłoka osiąga tzw. punkt graniczny tzn. traci stateczność przy utracie nośności, linia $A_5 - A_6$ określa stany niestacne. Dopiero za punktem A_6 powłoka staje się ponownie stateczna. W praktyce jednak przekroczenie punktu A_5 oznacza zniszczenie powłoki. Na rys. 3 przedstawiono również zachowanie się powłoki przy ugięciu w stronę przeciwną.

Powłoka przechodzi wówczas przez punkty bifurkacji A_7, A_8, A_9, A_{10} bez utraty nośności. Jednak należy sobie zdawać sprawę, że przy obciążeniach bliskich obciążeniu odpowiadającemu punktowi A_5 może nastąpić, przy działaniu pewnego impulsu, przeskok na krzywą $A_0 - A_6$, odpowiadającym stanom niestatecznym. Tak zachowuje się podczas obciążenia powłoka o idealnym kształcie. W rzeczywistości mamy zawsze do czynienia z powłokami o nieregularnym kształcie. Nieregularności te określiliśmy przy pomocy parametru ζ^0 . Na rys. 3 pokazano również krzywe „siła-ugięcie” przy początkowej imperfekcji $\zeta_0 = 0,2$ i $\zeta_0 = -0,2$. Dla $\zeta_0 = 0,2$ powłoka ugina się od samego początku obciążenia, przechodząc przez punkt bifurkacji B_4 , do punktu B_5 odpowiadającemu obciążeniu granicznemu. Krzywa $B_5 - B_6$ określa stany niestateczne. Teoretycznie możliwe stany stateczne przy ugięciu w stronę przeciwną określa krzywa $B_8 - B_9 - B_{10}$, a stany niestateczne krzywa $B_8 - B_7 - \infty$. Dla $\zeta_0 = -0,2$ powłoka również ugina się od samego początku obciążenia, przechodząc przez kolejne punkty bifurkacji C_8, C_9, C_{10} , bez utraty nośności. Jednak przy obciążeniu wyższym od obciążenia odpowiadającemu punktowi C_3 możliwy jest przeskok, np. jak pokazano na rys. 3 z punktu Q_1 do Q_2 . Wtedy dalszy wzrost obciążenia powodują utratę nośności w punkcie C_5 . Z praktycznego punktu widzenia największe znaczenie, jak widać ma określenie obciążeń odpowiadającym kolejnym punktom bifurkacji, a szczególnie pierwszego punktu bifurkacji A_1 , punktu granicznego A_5, B_5, C_5 oraz tzw. dolne obciążenie krytyczne A_6, B_6, C_6 .

Literatura cytowana w tekście

1. FR. ROMANÓW, *Obciążenia krytyczne konstrukcji wielowarstwowych*, Prace Naukowe IKiEM, Politechniki Wrocławskiej, Seria: Monografie 36, 8, Wrocław 1979.
2. FR. ROMANÓW, J. CZMOCHOWSKI, *Energia sprężysta i stateczność ścinanych trójwarstwowych powłok o odkształcalnych rdzeniach*, III Sympozjum Stateczności Konstrukcji, Referaty, Łódź 26 - 27.X.1979 r., s. 219 - 228.
3. E. REISSNER, *Finite Deflections of Sandwich Plates*, Journal of the Institute of Aeronautical Sciences, vol. 15, July 1948, pp. 435 - 440.
4. V. DUNĐROVA, V. KOVARIK, P. SLAPAK, *Nichtlineare Biegunstheorie von Sandwich-Platten*, Acta Technica Academiae Scientiarum Hungaricae, Tomus 57 (1 - 2), pp. 19 - 33 (1967).
5. JU. N. NOVIČKOV, *Nelinejnaja teorija i ustojčivost' tolstych mnogoslojnych obloček*, Prikladnaja matematika i mechanika, 1973, 37, No 3, 532 - 543.
6. E. I. GRIGOLJUK, P. P. ČULKOV, *Teorija trechslajnych oboloček s žestkim zapolnitelem*, Izvestija AN SSSR, OTN, Mechnika i Maszynostroenie, No 2, 1963.
7. A. L. POTASZ, *Uravenija obščej teorii izgiba ortotropnych trechslajnych plastin konecnogo progiba s legkim zapolnitelem*, Izvestija VUZ, Stroitel'stvo i Architektura, 1979, No 1, s. 46 - 52.
8. W. SZYC, *Nieliniowe zagadnienie stateczności sprężystej trójwarstwowej otwartej powłoki walcowej*, Rozpr. Inżyn., 19, 4, 1971.
9. G. RONAN JESUS, JAO-SHIUN KAO, *Nonlinear Equations for Shallow Sandwich Shells with Orthotropic Cores*, AIAA Journal, vol. 13, No 7, pp. 961 - 963, July 1975.
10. V. F. KARAVANOV, *Uravenija pologich trechslajnych oboloček s legkim zapolnitelem pri kónečnych smeščenijach*, Izv. VUZ, Aviacionnaja technika, No 1 (1958), s. 69 - 77.
11. A. S. VOL'MIR, *Ustojčivost' deformiruemych sistem*, Izd. „Nauka”, Moskva 1967.
12. E. I. GRIGOLJUK, P. P. ČULKOV, *Ustojčivost i kolebanija trechslajnych oboloček*, M., „Maszynostroenie”, 1973.
13. E. I. GRIGOLJUK, P. P. ČULKOV, *Teorija uprugich trjochslajnych konstrukcij v nielinieinoj postanovke*, Sb. Rascety elementov aviacionnych konstrukcij, Vyp. 4. M., Maszynostroenie 1965, 99 - 133.

14. J. N. GOODIER, J. M. NEOU, *The evaluation of theoretical critical compression in sandwich plates*, J. Aeron Sci., 18, No 10 (1951).
15. L. POMAZI, *On post-buckling behaviour of regularly multilayered rectangular elastic plates.*, Acta techn. Acad. Sci. Hung., 1978 (1979), 87, No 1 - 2, 111 - 120.

Р е з ю м е

НЕЛИНЕЙНАЯ ТЕОРИЯ УСТОЙЧИВОСТИ ТРЁХСЛОЙНЫХ ОБОЛОЧЕК С УЧЕТОМ ПОПЕРЕЧНОЙ ДЕФОРМИРУЕМОСТИ ЗАПОЛНИТЕЛЯ

В работе обсуждён вопрос упругой устойчивости пологих трёхслойных цилиндрических оболочек с мягким заполнителем, деформируемым в перпендикулярном направлении. Для наружных слоёв, согласно теории тонких однородных оболочек, принято гипотезу Кирхгофа-Лява (К-Л). По отношению к заполнителю применён метод, представленный в работах [1,2], учитывающий поперечную деформируемость заполнителя. Из принципа виртуальных работ выведены дифференциальные уравнения равновесия сил, которые после введения функции напряжений и функции перемещений были решены приближённым методом Бубнова-Галеркина. Приведены графики: сжимающей силы, соответствующей первой точке бифуркации, в функции толщины заполнителя, а также сжимающей силы в функции прогиба оболочки для различных начальных значений имперфекции.

S u m m a r y

NON-LINEAR THEORY OF THE STABILITY OF SANDWICH SHELLS WITH TRANSVERSE DEFORMABILITY OF THE CORE

The elastic stability of a cylindrical three layer-shell with soft core is considered. The deformation of a core occurs vertically to the shell surface.

For the external layers according to the theory of thin homogeneous shells the hypothesis of Kirchhoff-Love displacement was assumed. For the core, the methods given in papers [1, 2] taking into account the transverse deformability of the core — were considered. The differential equation of the equilibrium of the forces was established. With the introduction of the stresses and displacement functions the equation was solved by approximate Bubnov-Galerkin method. The diagrams of compressing force as a function of the core with were presented. The force is connected with the first point of bifurcation. Also the diagrams of compressive force as a function of shell deflection — for different values of initial imperfections were given.

Praca została złożona w Redakcji dnia 14 lipca 1981 roku.